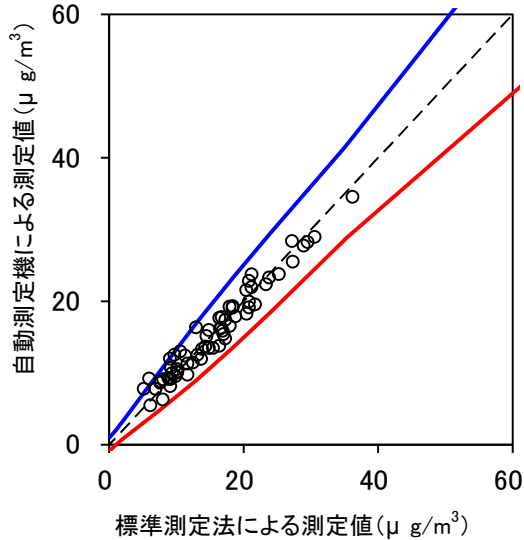


⑩ ‘ MP101M (Environnement S.A) 日平均値直接測定

A : グループごとに P_R を最大化する方法

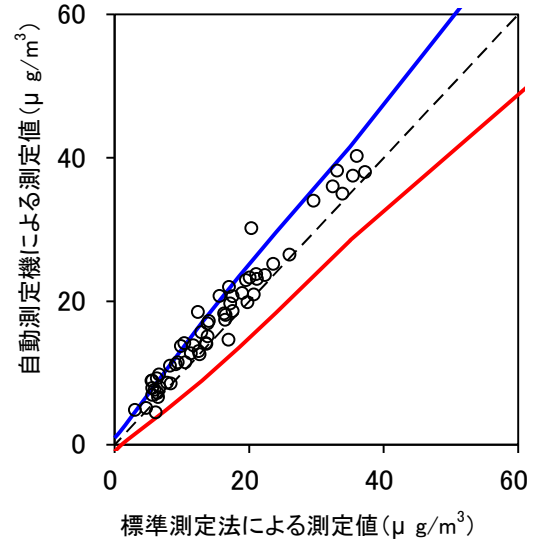
グループ 1 による評価

機種名	Model MP101M(BAM)-夏季
有効測定日数	72
自動測定機の有効データ数	65
ハズレ値の個数	2
r	9
K	1.838
傾き	0.91



Model MP101M(BAM)の夏季における管理限界線との関係

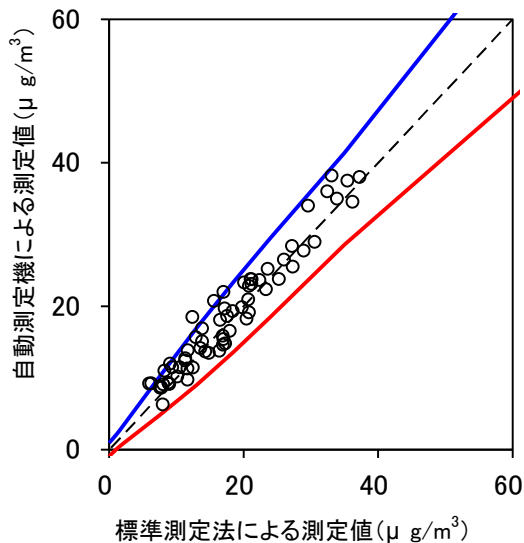
機種名	Model MP101M(BAM)-冬季
有効測定日数	69
自動測定機の有効データ数	59
ハズレ値の個数	11
r	8
K	1.867
傾き	1.04



Model MP101M(BAM)の冬季における管理限界線との関係

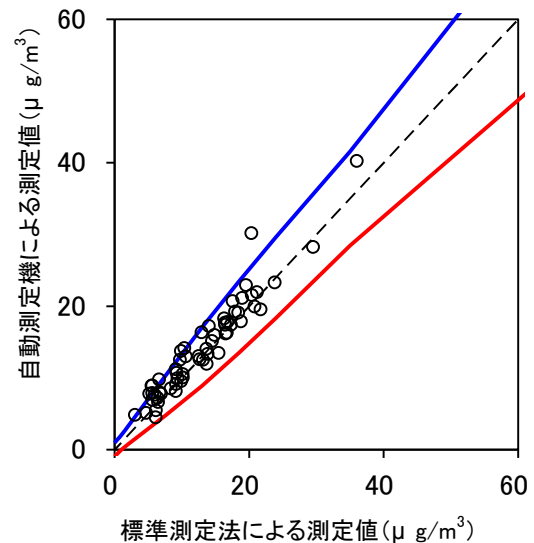
グループ 2 による評価

機種名	Model MP101M(BAM)-都市部
有効測定日数	73
自動測定機の有効データ数	64
ハズレ値の個数	5
r	9
K	1.831
傾き	0.99



Model MP101M(BAM)の都市部における管理限界線との関係

機種名	Model MP101M(BAM)-非都市部
有効測定日数	68
自動測定機の有効データ数	60
ハズレ値の個数	8
r	8
K	1.875
傾き	1.00



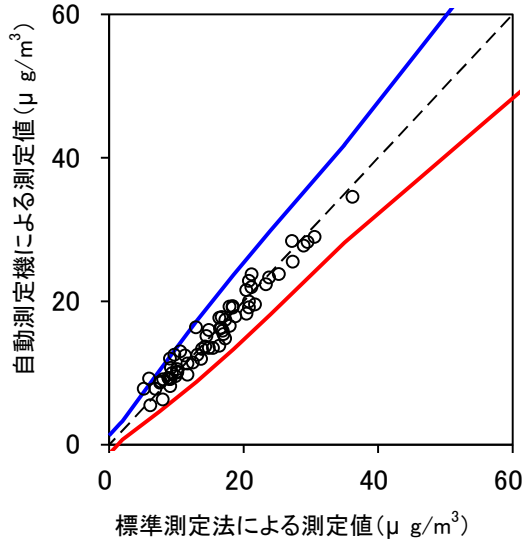
Model MP101M(BAM)の非都市部における管理限界線との関係

B : グループごとに P_R を固定する方法

(1) $\alpha = \alpha'_1$ の場合

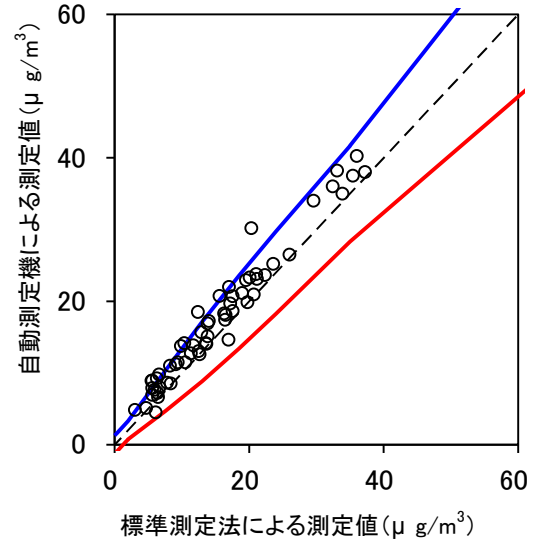
グループ 1 による評価

機種名	Model MP101M(BAM)・夏季
有効測定日数	72
自動測定機の有効データ数	65
ハズレ値の個数	2
r	8
K	1.950
傾き	0.91



Model MP101M(BAM)の夏季における管理限界線との関係

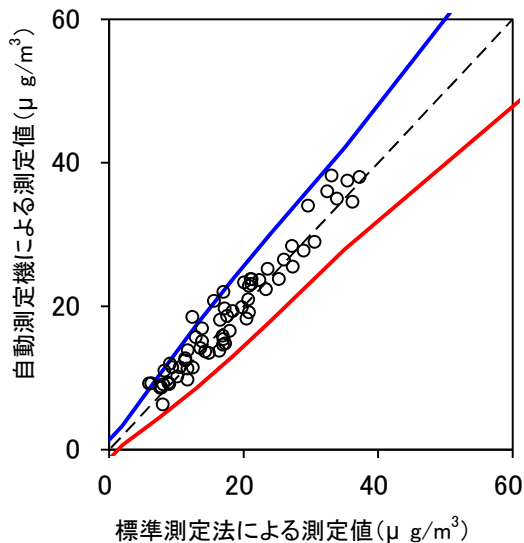
機種名	Model MP101M(BAM)・冬季
有効測定日数	69
自動測定機の有効データ数	59
ハズレ値の個数	11
r	8
K	1.911
傾き	1.04



Model MP101M(BAM)の冬季における管理限界線との関係

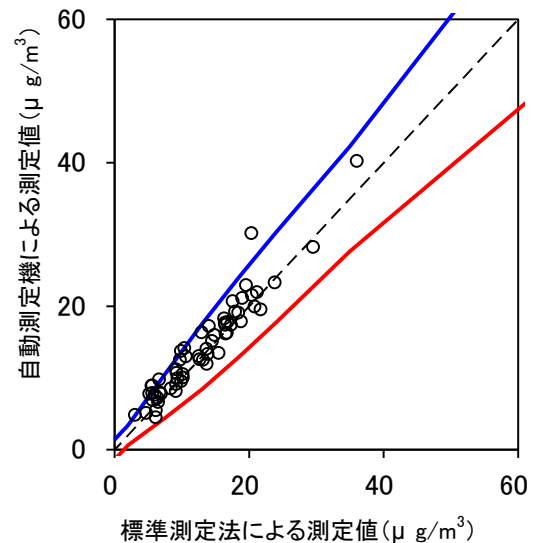
グループ 2 による評価

機種名	Model MP101M(BAM)・都市部
有効測定日数	73
自動測定機の有効データ数	64
ハズレ値の個数	4
r	7
K	2.025
傾き	0.99



Model MP101M(BAM)の都市部における管理限界線との関係

機種名	Model MP101M(BAM)・非都市部
有効測定日数	68
自動測定機の有効データ数	60
ハズレ値の個数	7
r	6
K	2.093
傾き	1.00

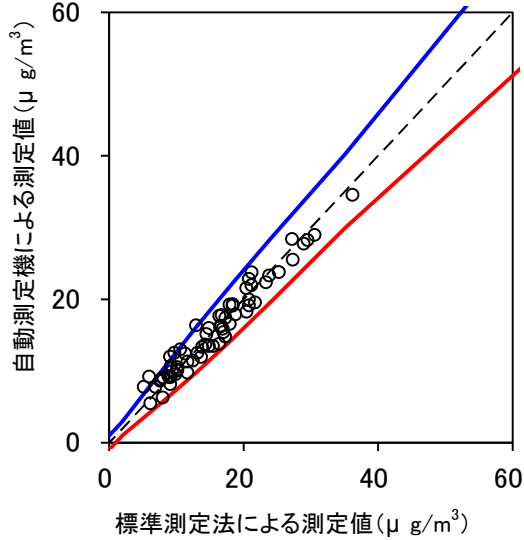


Model MP101M(BAM)の非都市部における管理限界線との関係

(2) $\alpha = \alpha'_2$ の場合

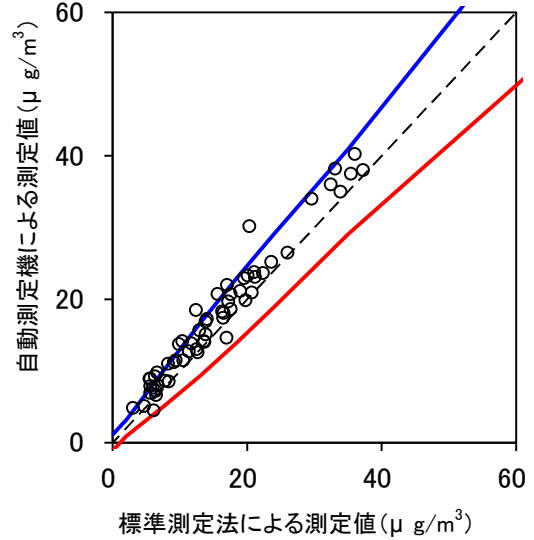
グループ 1 による評価

機種名	Model MP101M(BAM)・夏季
有効測定日数	72
自動測定機の有効データ数	65
ハズレ値の個数	5
r	16
K	1.468
傾き	0.91



Model MP101M(BAM)の夏季における管理限界線との関係

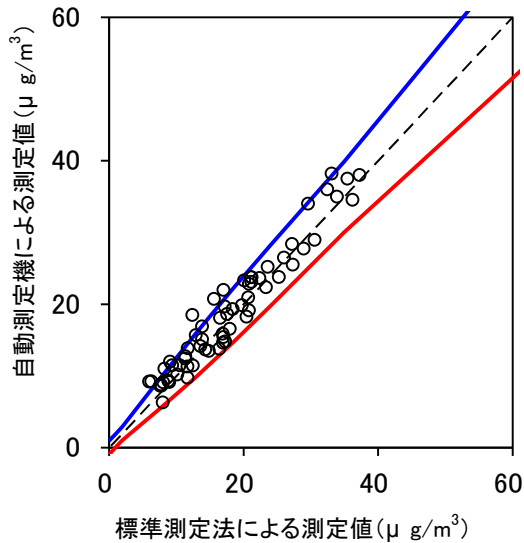
機種名	Model MP101M(BAM)・冬季
有効測定日数	69
自動測定機の有効データ数	59
ハズレ値の個数	13
r	11
K	1.696
傾き	1.04



Model MP101M(BAM)の冬季における管理限界線との関係

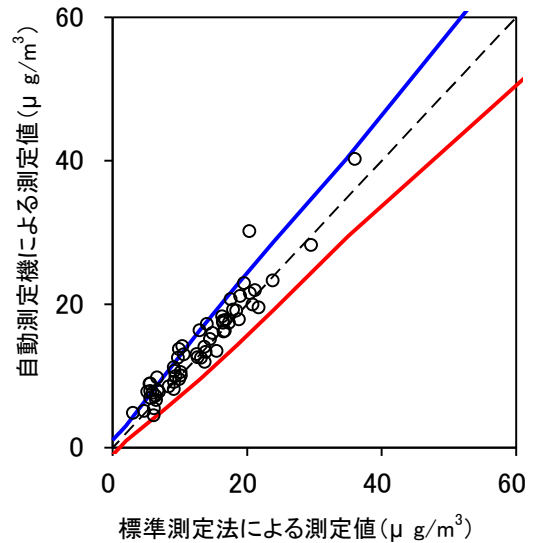
グループ 2 による評価

機種名	Model MP101M(BAM)・都市部
有効測定日数	73
自動測定機の有効データ数	64
ハズレ値の個数	8
r	17
K	1.411
傾き	0.99



Model MP101M(BAM)の都市部における管理限界線との関係

機種名	Model MP101M(BAM)・非都市部
有効測定日数	68
自動測定機の有効データ数	60
ハズレ値の個数	10
r	13
K	1.582
傾き	1.00

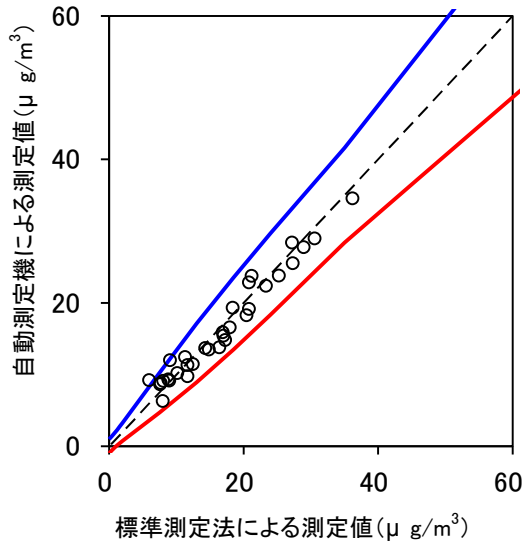


Model MP101M(BAM)の非都市部における管理限界線との関係

C: フィールドごとに P_R を最大化する方法

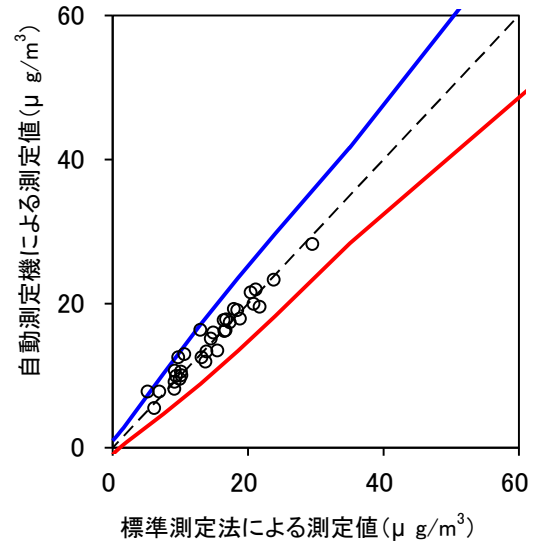
フィールドごとによる評価

機種名	Model MP101M(BAM)・都市部(夏)
有効測定日数	37
自動測定機の有効データ数	32
ハズレ値の個数	1
r	5
K	1.889
傾き	0.92



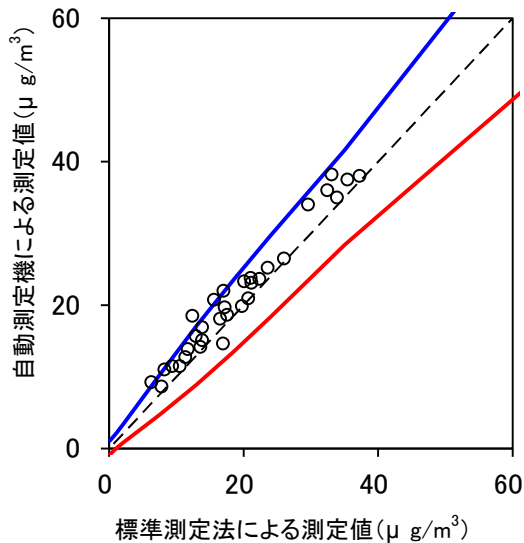
Model MP101M(BAM)の都市部(夏)における管理限界線との関係

機種名	Model MP101M(BAM)・非都市部(夏)
有効測定日数	35
自動測定機の有効データ数	33
ハズレ値の個数	1
r	5
K	1.904
傾き	0.91



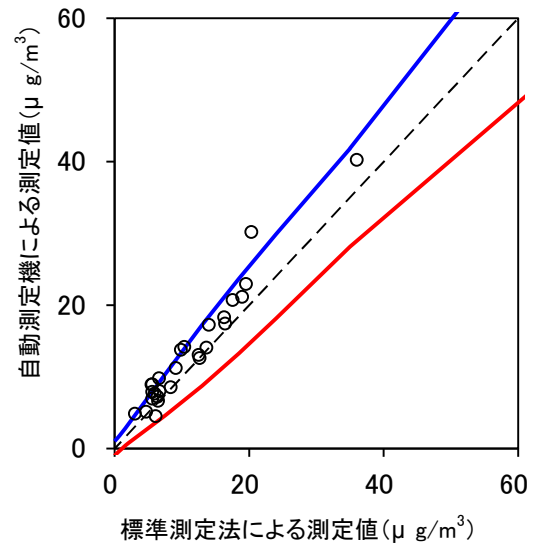
Model MP101M(BAM)の非都市部(夏)における管理限界線との関係

機種名	Model MP101M(BAM)・都市部(冬)
有効測定日数	36
自動測定機の有効データ数	32
ハズレ値の個数	4
r	5
K	1.889
傾き	1.00



Model MP101M(BAM)の都市部(冬)における管理限界線との関係

機種名	Model MP101M(BAM)・非都市部(冬)
有効測定日数	33
自動測定機の有効データ数	27
ハズレ値の個数	7
r	4
K	1.960
傾き	1.13



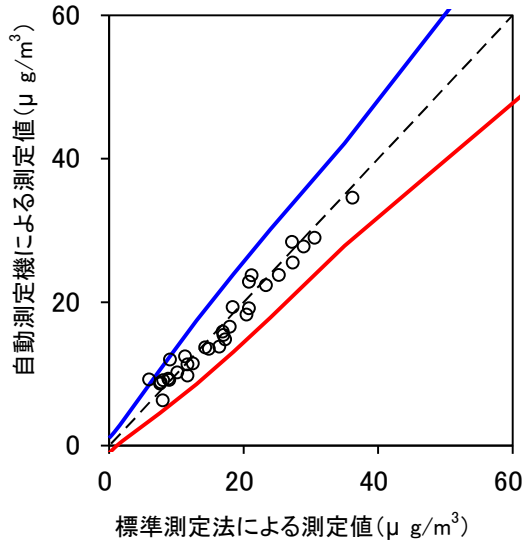
Model MP101M(BAM)の非都市部(冬)における管理限界線との関係

D: フィールドごとに PR を固定する方法

(1) $\alpha = \alpha'_1$ の場合

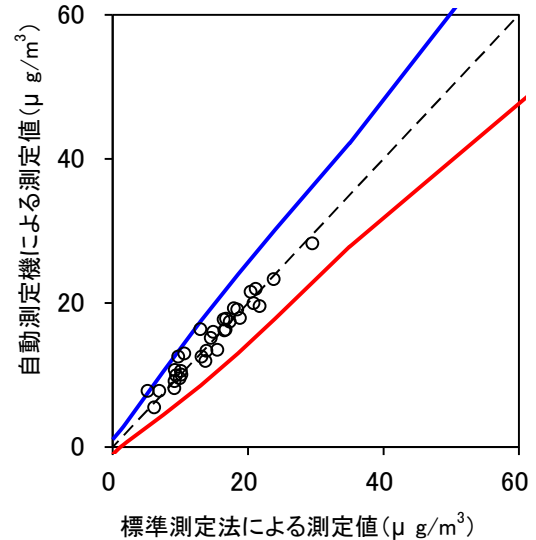
フィールドごとによる評価

機種名	Model MP101M(BAM)-都市部(夏)
有効測定日数	37
自動測定機の有効データ数	32
ハズレ値の個数	1
r	4
K	2.044
傾き	0.92



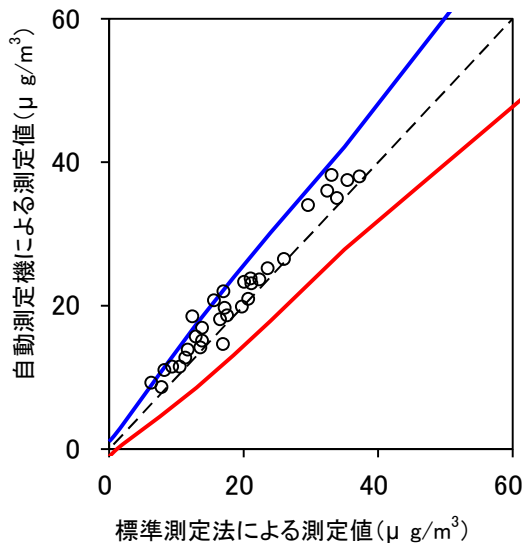
Model MP101M(BAM)の都市部(夏)における管理限界線との関係

機種名	Model MP101M(BAM)-非都市部(夏)
有効測定日数	35
自動測定機の有効データ数	33
ハズレ値の個数	1
r	4
K	2.056
傾き	0.91



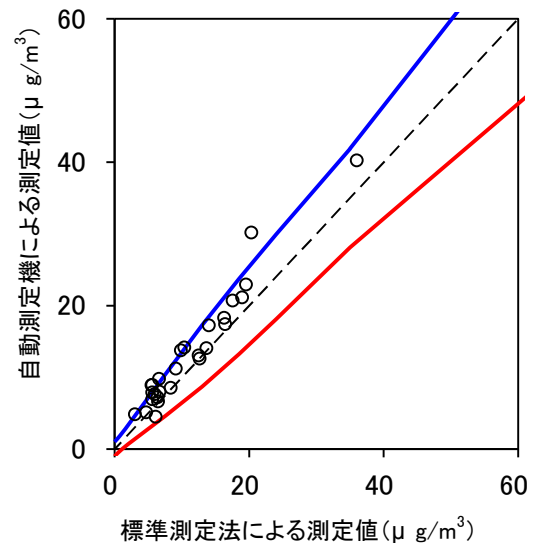
Model MP101M(BAM)の非都市部(夏)における管理限界線との関係

機種名	Model MP101M(BAM)-都市部(冬)
有効測定日数	36
自動測定機の有効データ数	32
ハズレ値の個数	3
r	4
K	2.044
傾き	1.00



Model MP101M(BAM)の都市部(冬)における管理限界線との関係

機種名	Model MP101M(BAM)-非都市部(冬)
有効測定日数	33
自動測定機の有効データ数	27
ハズレ値の個数	7
r	4
K	1.971
傾き	1.13

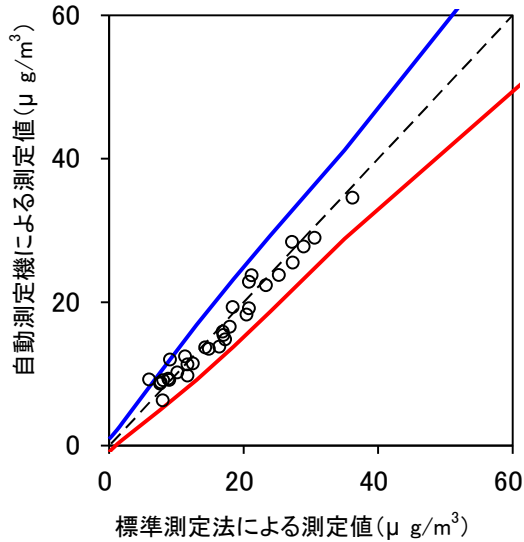


Model MP101M(BAM)の非都市部(冬)における管理限界線との関係

(2) $\alpha = \alpha'_2$ の場合

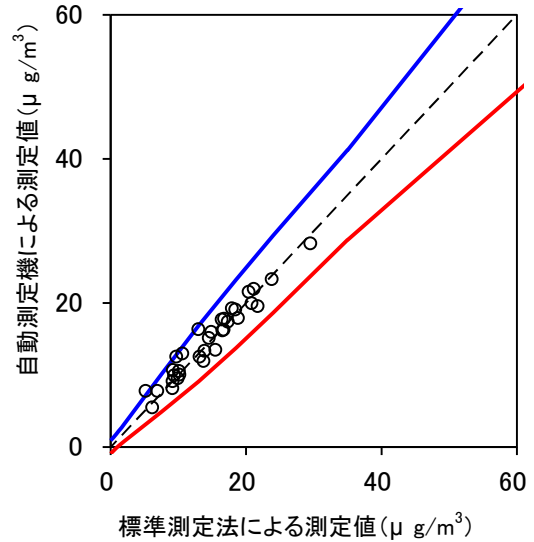
フィールドごとによる評価

機種名	Model MP101M(BAM)-都市部(夏)
有効測定日数	37
自動測定機の有効データ数	32
ハズレ値の個数	1
r	6
K	1.770
傾き	0.92



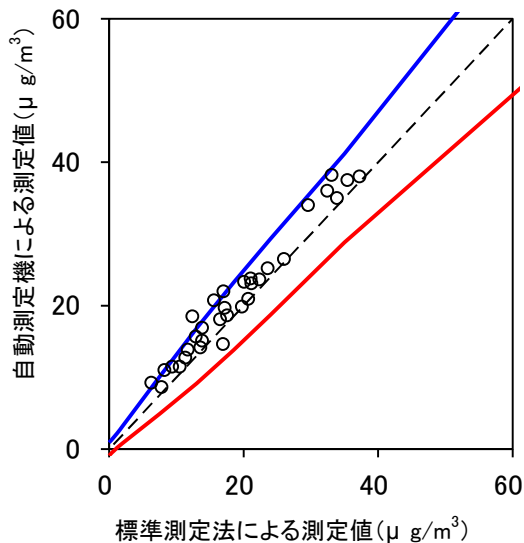
Model MP101M(BAM)の都市部(夏)における管理限界線との関係

機種名	Model MP101M(BAM)-非都市部(夏)
有効測定日数	35
自動測定機の有効データ数	33
ハズレ値の個数	1
r	6
K	1.785
傾き	0.91



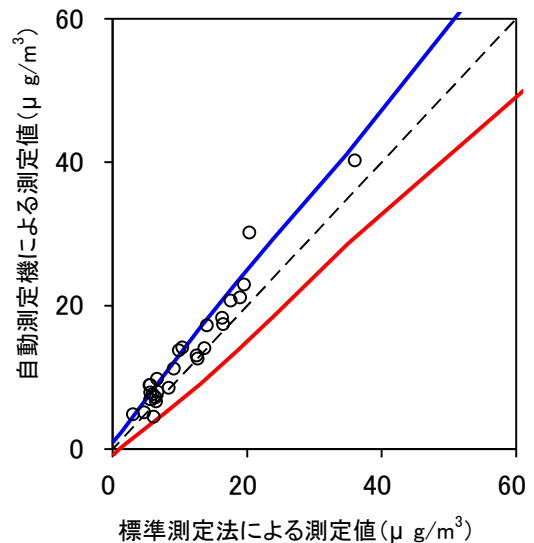
Model MP101M(BAM)の非都市部(夏)における管理限界線との関係

機種名	Model MP101M(BAM)-都市部(冬)
有効測定日数	36
自動測定機の有効データ数	32
ハズレ値の個数	4
r	6
K	1.770
傾き	1.00



Model MP101M(BAM)の都市部(冬)における管理限界線との関係

機種名	Model MP101M(BAM)-非都市部(冬)
有効測定日数	33
自動測定機の有効データ数	27
ハズレ値の個数	8
r	5
K	1.815
傾き	1.13



Model MP101M(BAM)の非都市部(冬)における管理限界線との関係